

DİPOL-DİPOL ELEKTROD AÇILIMLI ZAMAN ORTAMI IP ÖLÇÜLERİİNDE KUPLAJ ETKİSİ

COUPLING EFFECT OF THE TIME DOMAIN IP MEASUREMENTS BY USING DIPOLE-DIPOLE ARRAY

Okan TEZEL, Ali İsmet KANLI, Hüseyin TUR

İ. Ü. Mühendislik Fakültesi Jeofizik Mühendisliği Bölümü, 34850 Avcılar- İSTANBUL

ÖZ: Günümüzde İndüklem Polarizasyon (IP) uygulamalarında karşılaşılan en büyük problemlerden biri, ölçülerin alınması sırasında çeşitli nedenlere bağlı olarak oluşan induktif, kapasitif ve elektromanyetik koplajlardır. Jeoelektrik arazi çalışmalarında, genelde bir elektriksel kaynak kullanılarak bu kaynağın ortam içerisindeki dağılımı ve değişimini incelenir. Ancak bu inceleme süresince bazan, ortamda bulunan diğer kaynakların etkileri de incelenebilir. Verilerle birlikte bulunurlar. Sözü edilen bu etkiler esas olarak incelemek istedigimiz ikincil kaynağın ortam içerisindeki değişim özelliklerini belirlememizi engellerler. Bu nedenle ölçülerimizdeki koplaj etkisini hesaplamak ve gidermek gereklidir.

Bu çalışmada koplaj, sönüm eğrileri şeklinde tek düz (homojen) ortamlarda dipol-dipol elektrod dizilimi için hesaplanmış ve hangi durumlarda arttığı belirlenmeye çalışılmıştır. Elde edilen sonuçlara göre, homojen ortamlar için yapılan değerlendirmelerde, büyük aralıklık elektrod açıluları seçildiğinde ve iletken ortamlarda koplajın arttığı görülmüştür.

Anahtar Kelimeler : IP, zaman ortamı, dipol-dipol, koplaj.

ABSTRACT

It is well known that, the most important problems in the IP polarization applications are inductive and capacitive coupling effects. Coupling which includes involuntary responds is occurred by variable causes while taking measurements. In geoelectric field studies, generally electrical source is used and its changes and distribution in surroundings are searched. Sometimes in this searching progress, there are other effects with our data that we want to searched. So these effects are blocked our real source and its characteristics in surroundings. Therefore coupling effects in our measurements must be calculated and its effects must be removed. In this study, coupling was calculated by decay curves in homogenous media for dipole-dipole electrode arrays and coupling increasing conditions were searched in homogenous media.

Our studies show to us that if we use large (n) values of electrode arrays and in conductive environments, it is clearly seen that coupling increases.

Key Words : IP, time domain, dipole-dipole, coupling.

GİRİŞ

İndüklem polarizasyon (IP) yöntemi, iyonların kayaç içerisinde arayüzey kutuplaştmaları oluşturmadan yararlanarak, kayaçların iyon içeren bölgelerini saptar. Böylece yeraltının hem özdirenç hem de iyonik durumunu yansıtır. IP uygulamalarında en sık kullanılan elektrod dizilimlerinden biri, bazı avantajları nedeniyle, dipol-dipol'dür. Dipol-dipol diziliminin diğer elektrod dizilimlerine göre en önemli avantajı, alıcı yürütüldüğünde daha az kabloya gereksinim duyulmasıdır. Ayrıca simetrik anomaliler verir ve üst tabakadaki yanal değişimlere karşı çok duyarlıdır. Bu çalışmada, dipol-dipol elektrod diziliminin uygulanması sırasında oluşan koplaj araştırılmıştır.

IP ölçülerinde, bir elektriksel kaynaktan üretilen akım, seçilen elektrod dizilimine bağlı olarak yer içerişine gönderilir. Böylece bu akımın ortam içerisindeki dağılımı ve değişimini incelenmeye çalışılır. Ancak bu sırada ortamda bulunan diğer kaynakların (doğal potansiyeller, magnetotellurik olaylar vb.) etkileride ölçülerimizle birlikte bulunurlar. Dolayısıyla bu etkiler, kaynağımızın ortam içerisindeki değişim özelliklerini belirlememizi engellerler.

Bodmer ve Morrison (1968), yeraltısuyu etütünde, farklı frekansların akım yollarının farklı olması sebebiyle negatif IP oluşabileceğini göstermişlerdir. Dey ve Morrison (1973), elektromanyetik koplajı, Fourier dönüşümü ile diğer bazı sayısal ayırm yöntemlerini bir-

likte kullanarak, karmaşık yollardan belirlemiştir. Trofimenoff ve diğerleri (1982), kuplajın bazı elektrod dizilimlerindeki tanımını vermişlerdir. Çağlar (1989), karmaşık yollar yerine daha basit yollarla kuplajın hesaplanabileceğini göstermiştir. Swift (1973) ise zaman ortamı IP ölçülerinde olusabilecek kuplajın hesaplanan L/M parametreleri (L: sönüm eğrisinin üstündeki alanın kısmi integrasyonu, M: sönüm eğrisinin altındaki alanın kısmi integrasyonu) ile belirlenebileceğini sunmuştur. Scintrex ve Huntec şirketlerinin setleri ile kullanılan transient nedeniyle gürültüler otomatikman önlenebilmektedir. Dolayısıyla geriye induktif, elektromanyetik ve kapasitif kuplajlar kalmaktadır.

Ölçülerimizde olusabilecek olumsuz etkilerden bazıları, aşağıda oluşum nedenleri ile verilmiş ve kısmen bunlardan korunma yolları sunulmuştur.

1. Tellürik etkiler;

Çok uzun periyotlu olan tellürik akımlar belli doğrultuda aktıklarından ölçülerimizde SP etkisiymiş gibi görünürler. Bu bozucu etkilerle zaman ortamı IP yanıtlarında karşılaşılır. Bunlar özellikle düşük frekanslı (0.3 Hz.'den daha küçük) değerlerse, yüksek geçişli bir filtre ile gayet başarılı bir şekilde önlenebilirler.

2. Sistem ve yüksek iletken örtü tabakası arasında oluşan bozucu etkiler;

Ölçüler iletken bir sahada yapıldığında elektromanyetik kuplajlar (maskeleme) nedeniyle bazı güçlülere karşılaşılabilir. Elektromanyetik kuplajlardan korunabilmek için $a \sqrt{frekans / özdirenç} < 100$ (Dizioğlu ve Keçeli, 1981) şartının, ölçü sisteminde sağlanması gereklidir. Burada a: ölçüerdeki verici-alıcı arasındaki mesafedir. Verici-alıcı kablolar birbirine yakınsa ölçülerde kapasitif kuplaj oluşur.

3. Kondüktif kuplaj;

Örtü tabakasının iletken olması ve yer içeresine gönderilen akımın frekansının yüksek olması durumunda bariz olarak görülen bir etkidir. Bu etki, mümkün olduğu kadar düşük frekanslı akımlar kullanılarak önlenebilir.

4. Skin Efekt olayı (Kabuk olayı);

İlk olarak Bertin (1968), (1969) tarafından, puls transiyent tekniginde, geometrik etkiler olarak Skin Efekt olayından bahsedilmiş ve yeraltındaki anomali kütlesinin dipol etkisinden negatif IP'nin olusabileceğini ileri sürülmüştür. Değişken frekanslı akım kullandığımızda, akımın frekansa bağlı olarak yer içerisindeki gırginlığı bu olayı oluşturur. IP arazi ölçülerinde güvenilir ölçüler yüzeyden en fazla 2000-3000 m. derinliklere kadar elde edilebilmektedir. Bu derinliklerden sonra Skin Efekt olayı nedeniyle polarizasyon değerleri küçülmektedir. Gırginlik basitçe,

$$d = 503 \sqrt{\frac{\rho}{F}} \text{ (metre) eşitliği ile verilir.}$$

5. Kapasitif kuplaj;

Uzun kablo kullanılması nedeniyle, kablolar arasında (verici-alıcı kablo) meydana gelen kaçak etkilerden dolayı olduğu gibi örtünün iletken olması durumunda da oluşabilir. Düşük frekans ve birbirinden uzak serili kablo kullanımıyla ortadan kalkabilir.

6. İndüktif kuplaj;

Alıcı ve verici makaraları üzerindeki kablolarдан ileri gelen etkidir. Yani alıcı ve vericinin makaralı kabloları üzerindeki kablonun, bobin etkisi göstermesiyle oluşur. Çok düşük akım yoğunluklarında, yerdeki doğal akımların üstün gelmesinden ve yüksek akım yoğunluklarında, ölçü ortamı içindeki yüksek akım saturasyonlarının yapay olarak yarattığı induktif etkiler nedeniyle oluşur.

7. Yeryüzündeki aşırı topografik arızaların neden olduğu bozucu etkiler.

8. Örtü tabakasında lokal iletkenlik farklılıklarının bulunduğu yerlerde akım ve potansiyel elektrodlarının farklı iletkenlik lokasyonlarında bulunması sonucunda oluşan bozucu etkiler.

Yukarıda bazıları verilen bozucu etkilerden kısmen kurtulmak için aşağıda ki önlemleri almak yararlı olacaktır.

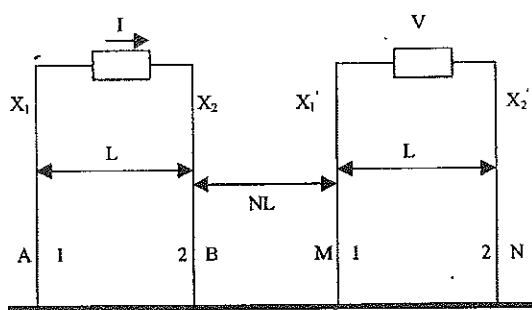
1. Ölçü sistemi ve profildeki düzen kontrol edilmelidir.
2. Uzun profil ölçülerinde verici-alıcı kabloları mümkün olduğunda birbirinden uzak alınmalıdır.
3. Optimum akım miktarı ve frekans aralığının seçilmesi ile elde edilecek parametre değeri büyültülürken E.M. bozucu etkiler azaltılmış olur.
4. Kablo kaçakları ve zayıf bağlantılar onarılmalıdır.

Bunların dışında matematiksel yollardan da söz konusu bozucu etkilerden kurtulmak mümkündür. Ancak matematiksel uygulamalarda yararlı bilgiler de atılabileceğinden oldukça dikkatli olunmalıdır. Bu nedenle ölçü aşamasında bilgilerin sağlıklı alınması gerekmektedir.

Yukarıda açıklanılmaya çalışıldığı üzere arazi verileri içerisinde istenmeyen bu etkilerin giderilmesi işlemi son zamanlarda büyük önem kazanmıştır. Aşağıda dipol-dipol elektrod dizilimi için kuramsal örnekler verilerek konunun önemi ortaya konmaya çalışılmıştır.

Dipol-Dipol Elektrod Diziliminde Kuplaj

Dipol-dipol elektrod dizilimi Şekil 1'de gösterilmiştir. Genel olarak gerilim bağıntısı,



Şekil 1. Dipol-dipol elektrod dizilimi modeli.
Figure 1. Dipole-dipole electrode array model.

$$\Delta V = V_M - V_N = \frac{\rho I}{2\pi} \left[\left(\frac{1}{AM} - \frac{1}{BM} \right) - \left(\frac{1}{AN} - \frac{1}{BN} \right) \right] \quad (1)$$

ile verildiğinden bunu dipol-dipol dizilimi için,

$$\Delta V = \frac{\rho I}{2\pi} \left(\frac{1}{L+NL} - \frac{1}{NL} - \frac{1}{2L+NL} + \frac{1}{L+NL} \right) \quad (2)$$

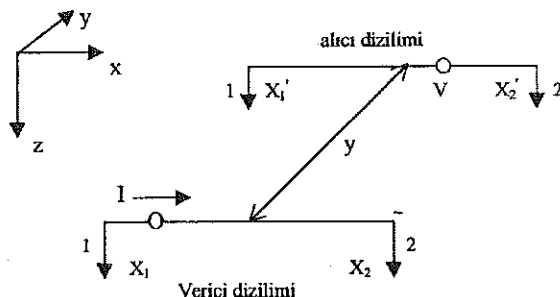
şeklinde yazabiliyoruz. Bu ifade de gerekli kısaltmaları yaparak geometrik faktörü,

$$k = \frac{-2}{N(N+1)(N+2)} \quad (3)$$

olarak elde ederiz. Bu bağıntıyı (2) denkleminde yerine koyduğumuzda,

$$V_0 = -\frac{I\rho}{\pi LN(N+1)(N+2)} \quad (4)$$

bağıntısıyla akımın akışı anındaki normal gerilimi veren ifadeyi elde ederiz. Bu bağıntıyı Yost'un (1952) dipol-dipol dizilimi modeline (Şekil 2) uyguladığımızda kuplaj hesaplayabileceğimiz eşitliği saptarız.



Şekil 2. Dipol-dipol elektrod dizilimi modeli (Yost, 1952).
Figure 2. Dipole-dipole electrode array model (after Yost, 1952).

Şekil 2'deki dizilime göre;

$$X_{11} = X_{22} = (N+1)L$$

$$X_{12} = (N+2)L$$

$$X_{21} = NL$$

$$erf\theta = \frac{2}{\sqrt{\pi}} \int_{\sigma}^{\theta} e^{-x^2} dx \quad (\text{Abramovitz ve Stegun, 1972})$$

$$x_{ij} = |x_i - x_j|$$

$$r_{ij} = \sqrt{y^2 + x_{ij}^2} \quad (5)$$

olarak verildiklerinden, dipol-dipol dizilimi için 1.noktaya göre 2. noktadaki gerilim,

$$V_{21}(t) = V_0 - \frac{I\rho}{2\pi y^2} \sum_{i=1}^N \sum_{j=1}^2 (-1)^{i+j} [r_{ij} \operatorname{erf}(\gamma r_{ij}) - x_{ij} e^{-\gamma^2 r_{ij}^2} \operatorname{erf}(\gamma x_{ij})] \quad (6)$$

bağıntısı ile hesaplanır. Burada:

$V_{21}(t)$: Gerilim elektrodları arasındaki elektriksel gerilim (volt),

V_0 : Akım akışı anındaki normal gerilim (volt),

I : Step akım genliği (amper),

ρ : özdirenç (ohm-m.),

$$\gamma^2 = \frac{\mu_0}{4\pi t} (m),$$

t : zaman (sn.),

μ_0 : Serbest havanın manyetik geçirgenliği ($4\pi \cdot 10^{-7}$ Henry/m.),

y : akım ve gerilim elektrolarının orta noktaları arasındaki uzaklık (m.),

olarak alınmıştır.

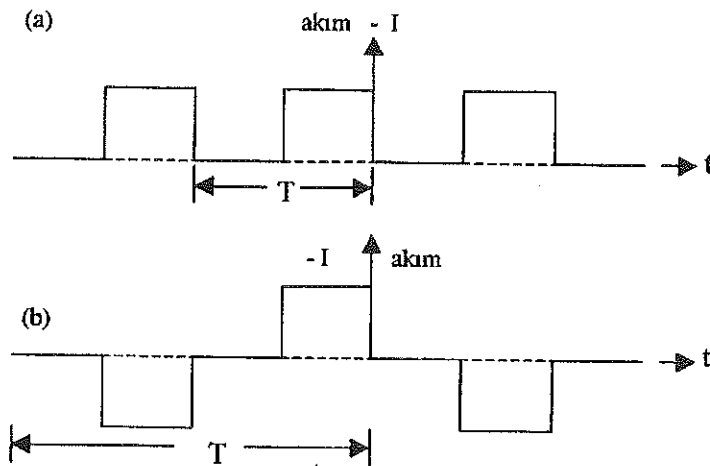
(6) ifadesi açılarak, gerekli kısaltmalar yapıp düzenlenliğinde,

$$\begin{aligned} V_{21}(t) &= V_0 - \frac{I\rho}{2\pi y^2} [2 \sqrt{(N+1)^2 L^2 + y^2} \operatorname{erf}(\gamma \sqrt{(N+1)^2 L^2 + y^2} - 2e^{-\gamma^2 y^2} \\ &\quad (N+1)L \operatorname{erf}(\gamma (N+1)L) - \sqrt{N^2 L^2 + y^2} \operatorname{erf}(\gamma \sqrt{N^2 L^2 + y^2}) + e^{-\gamma^2 y^2} NL \\ &\quad \cdot \operatorname{erf}(\gamma NL) - \sqrt{(N+2)^2 L^2 + y^2} \operatorname{erf}(\gamma \sqrt{(N+2)^2 L^2 + y^2}) + e^{-\gamma^2 y^2} (N+2)L \\ &\quad \cdot \operatorname{erf}(\gamma (N+2)L)]] \end{aligned} \quad (8)$$

bağıntısı elde edilir.

IP yönteminin uygulanması esnasında yer içerişine gönderilen akımın, periyodik bir kare dalga ve çoklu akım kare dalga şekillerine göre değişimleri Şekil 3'te verilmiştir.

Bu çalışmada, Day ve Morrison (1973) tarafından "Relative Decay Voltage" (RDV) olarak adlandırılan "Göreceli Sönüüm Gerilimi" eğrisi hesaplanırken, aşağıdaki bağıntılardan yararlanılmıştır. Buna göre kuplaj yanıtının söküüm eğrisi şeklinde elde edilmesi için ilk olarak Horton (1946) tarafından verilen "Indicial Relative Decay Voltage" (IRDV) yani "Step Göreceli Sönüüm Gerilimi" bağıntısı alınmıştır. RDV, sabit genlikli bir



Şekil 3. a. Periyodik bir kare dalga akımı grafiği.
b. Çoklu akım kare dalga grafiği.

Figure 3. a. Graph of a periodic square wave current.
b. Graph of large number current square wave.

akımın yere periyodik olarak verilip kesilmesi koşulunda elde edilen bir büyülüklük olup, (8) no'lu bağıntıdan yararlanmak suretiyle,

$$IRDV = \frac{V_{21}(t) - V_0}{V_0} \quad (9)$$

şeklinde hesaplanabilmektedir. Burada IRDV, yere verilen akımın bir stepine karşılık elde edilen RDV değeridir. O halde RDV, Şekil 3.a'daki akım için,

$$RDV(t) = \sum_{m=0}^M \left[IRDV\left(t + \frac{T}{2} + mT\right) - IRDV\left(t + mT\right) \right] \quad (10)$$

ve Şekil 3.b'deki akım içinde,

$$RDV(t) = \sum_{m=0}^M \left[IRDV\left(t + \frac{T}{2} + mT\right) + IRDV\left(t + \frac{T}{4} + mT\right) - \right. \quad (11)$$

$$\left. RDV\left(t + \frac{3T}{4} + mT\right) - IRDV\left(t + mT\right) \right]$$

olarak yazılabilir.

Bu bağıntılardaki duyarlı hesaplamalar için M olduğunda büyük seçilmelidir. Ancak, genelde yer özdirencinin 1-100 ohm-m. arasında olduğu düşünüülerek, M=2 için daha uygun bir tanım yapılabilir. RDV değişimleri hesaplanırken Trofimenkoff ve diğerleri (1982) tarafından verilen $\gamma(n+1)l \leq 0.3$ koşulu dikkate alınmalıdır.

Akımın akması anındaki normal voltaj V_0 (4) bağıntısı ile verildiğine göre, RDV, aşağıda verilen IRDV bağıntısının, (10) veya (11) nolu ifadelerde yerine koynulmasıyla elde edilir.

$$IRDV(t) = \frac{N(N+1)(N+2)L^3(\mu_0)^{\frac{3}{2}}}{12 \sqrt{\pi \rho_2^{\frac{3}{2}} t_2^{\frac{3}{2}}} \quad (12)}$$

Böylece, seçilen herhangi bir homojen ortam için IP yanıtlarındaki kuplajı, zaman ortamında ve dipol-dipol elektrod dizilimi için sönülmüş eğrileri şeklinde hesaplamak mümkündür. Bu amaçla yapılan bir model çalışma aşağıda verilmiştir.

Model Çalışma

Yukarıda verilen bilgilere dayanılarak Tezel (1992) tarafından geliştirilen ve Ek 1'de sunulan bir programda;

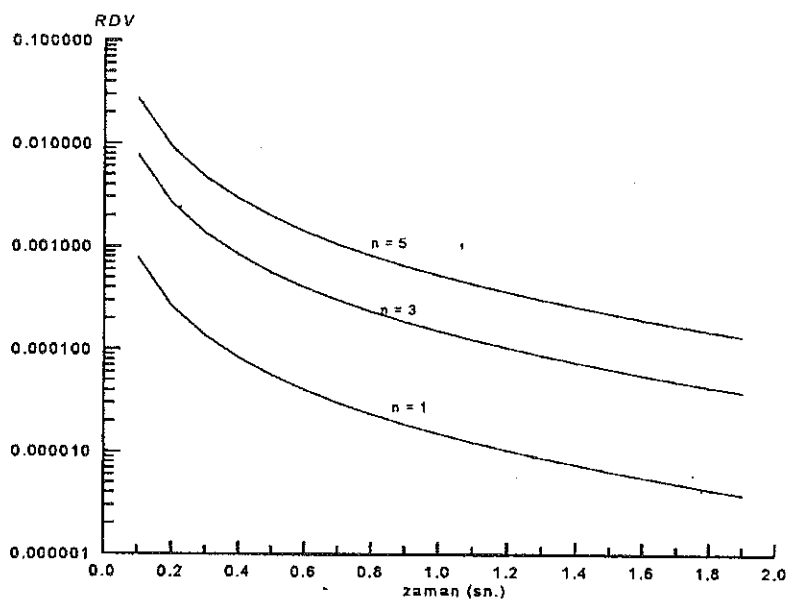
- a: Elektrod açıklığı (m.),
 - ρ : Homojen ortam özdirenci (ohm-m.),
 - T: Dalgalı akımın periyodu (sn.),
 - TR: Cevap süresi (sn.),
 - Bas: Başlama zamanı (sn.),
 - adım: Elektrodları kaydırma miktarı (m.),
- girdi parametreleri olarak alınmıştır.

Bu parametreler ışığında yapılan bir uygulama aşağıda sunulmuştur. Bu uygulamada, dalgalı akımın periyodu ve özdirencin farklı ikişer değeri için 3 grup kuramsal ölçüdeğerleri hesaplanmıştır.

1.grup hesaplamada parametre değerleri:

- a : 400 m.
- ρ : 100 ohm-m.
- T : 4 sn.
- TR : 2 sn.
- Bas : 0.1 sn.
- Adım : 0.1 m.

olarak alınmış ve n katsayısına bağlı olarak RDV değerleri hesaplanmıştır (Şekil 4).



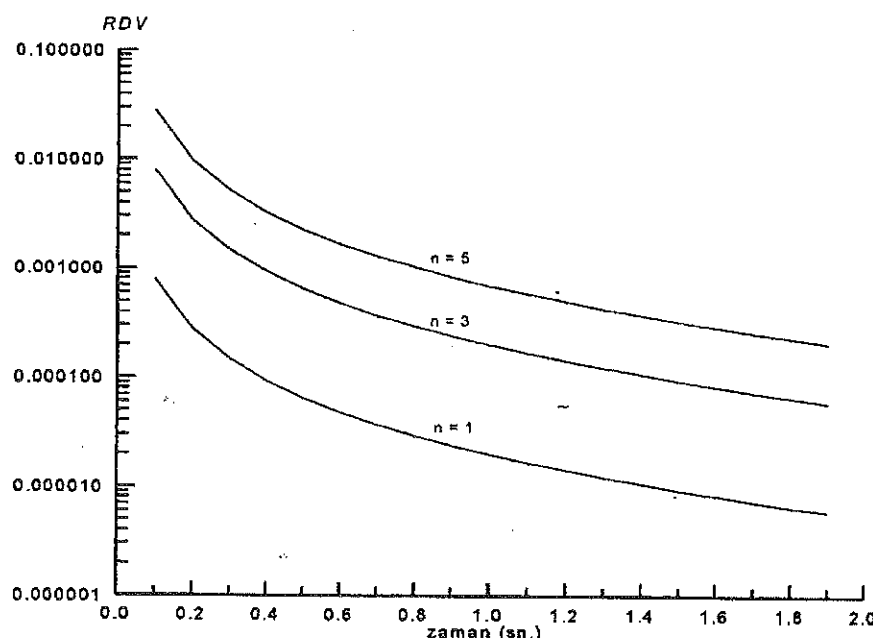
Şekil 4. n 'e bağlı olarak çizilen zamana göre RDV değişimlerinin görünümleri ($T = 4$ sn. ve $\rho = 100$ ohm-m.).
Figure 4. View of RDV changes versus time, plotted by related to n ($T = 4$ sec. and $\rho = 100 \Omega\text{m}$.):

2. grup hesaplamada dalgalı akımın periyodu (T) değiştirilerek 8 sn. alınmış ve diğer parametre değerleri değiştirilmeden RDV değerleri yine n 'e bağlı olarak hesaplanmıştır (Şekil 5).

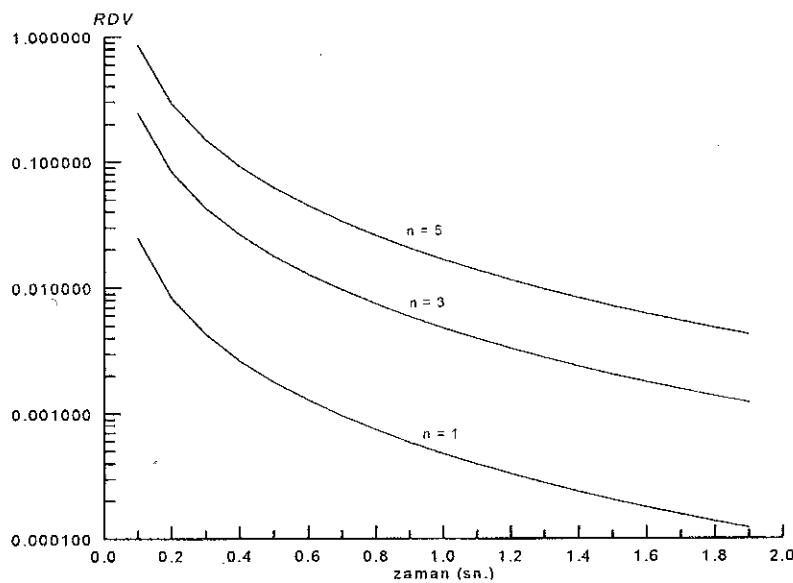
3. grup hesaplama ise dalgalı akımın periyodunun 4 sn. ve ρ değerinin azaltılarak 10 ohm-m. alınması

ve diğer parametre değerlerinin yukarıda verilen iki grup ölçülerdekinin aynı seçilmesi ile yapılmıştır (Şekil 6).

Böylece Şekil 4-5-6' da ki RDV değişimleri incelenerek aşağıdaki sonuçlar çıkarılmıştır.



Şekil 5. n 'e bağlı olarak çizilen zamana göre RDV değişimlerinin görünümleri ($T = 8$ sn. ve $\rho = 100$ ohm-m.).
Figure 5. View of RDV changes versus time, plotted by related to n ($T = 8$ sec. and $\rho = 100 \Omega\text{m}$.):



Sekil 6. n 'e bağlı olarak çizilen zamana göre RDV değişimlerinin görünümleri ($T = 4$ sn. ve $\rho = 10$ ohm-m.).
Figure 6. View of RDV changes versus time, plotted by related to n ($T = 4$ sec. and $\rho = 10$ Wm.).

SONUÇ

Bilindiği üzere sülfürlü maden yatakları metalik cevherleşme göstermektedirler. Bu yatakların ortaya çıkarılmasında kullanılan en etkin yöntem İndüklem Polarisasyon (IP)'dır. Ancak alınan ölçülerde çeşitli nedenlerle oluşabilecek kuplej gidermek sağlıklı değerlendirmeler yapabilmek için zorunludur.

Yapılan çalışma sonucunda, Göreceli Sönüüm Geçirimi (RDV)'nin zamana göre değişimleri incelendiğinde; n değerinin artmasıyla sökülmün hızlandıgı aksı halde sökülmün yavaşladığı (Şekil 4-5), dalgalı akımın periyodu göre sürenin artmasıyla sökülmün yavaşladığı diğer halde sökülmün artlığı (Şekil 4-5), özdirenç değerinin düşük alınması durumunda sökülmün daha da hızlandıgı görülmüştür (Şekil 4-6).

Bu sonuçlara dayanılarak tek düzeye (homojen) ortamlarda, dipol-dipol elektrod dizilimi seçildiğinde ve de kuplejin hızlı bir sökümdede arttığını bilindiğinden (Swift, 1973) hareketle, kuplej aşağıdaki şekilde belirlemek mümkündür.

n değerinin artmasıyla söküm hızlanmaktadır ve kuplej artmaktadır. Dalgalı akımın periyodu artırıldığında söküm yavaşlamaktır ve kuplej azalmaktadır. Küçük özdirenç değerleri seçildiğinde ise sökülmün ve kuplejin artlığı görülmektedir.

Yukardaki bilgiler ışığında dipol-dipol elektrod diziliminde kuplejin olumsuz etkilerinden kurtularak

sağlıklı ölçüler alabilmek ve değerlendirmeler yapabilmek için, büyük periyotlarda ve küçük aralıkları n mesafelerinde çalışmanın yararlı olacağı sonucuna varılmıştır. Ayrıca iletken ortamlarda kuplejin artlığı görülmüştür.

SUMMARY

IP which is used for searching ion contained zones of rocks is a geophysical method. This method finds out these zones by the help of ions which form the interface polarization in rocks. Different techniques are used in this progress. In this study, time domain measurement technique was used. There are several different techniques and different electrode arrays and in this study we used dipole-dipole electrode arrays. Because this system needs less cables and also has more advantages than the other systems. Generally in geoelectric surveys, it is used only an electrical source and searched the source distribution and its changes in surroundings. But sometimes at this searching progress, there are other sources effects with our real data. So these effects block to determine the changing properties of source in its surroundings. Therefore it must be calculated the couplage effects of our measurements.

In this study, coupling and its occurrence conditions were determined from values using Dey and Morrison (1973)'s equation. According to our studies, it was

understood that to remove the coupling effects in dipole-dipole electrode arrays, it is understood that taking small (n) intervals of electrode arrays and using big periods are useful. Inaddition to this, coupling increases are seen in conductive environments.

DEĞİNİLEN BELGELER

- Abramovitz M., Stegun A.I., 1972,** Handbook of Mathematical Functions, Dower Publications Inc., Newyork.
- Bertin J., 1968,** Some aspects of Induced Polarization (time domain) Geophys. prosp. 16, 4, 401.
- Bertin J., 1969,** Transients and field Behaviour in Induced Polarization Geophys.prosp., 4, 448.
- Bodmer R., Ward S.H., Morrison H.F., 1968,** On Induced Polarization and ground water, Geophysics 33, 805-826.
- Çağlar İ., 1989,** Zaman Ortamı IP ölçmelerindeki EM kuplaj için kolay bir hesaplama, Doğa, TÜ Müh. ve Çev. D. C., 13, S., 1.
- Day A., Morrison H.F., 1973,** Electromagnetic coupling in frequency and time domain Induced Polariza-
- tion surveys over a multilayered earth, Geophysics, 38, 2, 380-405.
- Dizioğlu, M.Y. ve Keçeli, A.D., 1981,** Elektrik ve elektromanyetik prospeksiyon yöntemleri, İÜ. Yayınları Fen Fakültesi basimevi, İstanbul.
- Horton C.W., 1946,** "On the use of electromagnetic waves in geophysical prospecting" Geophysics XI, Pp., 505-518.
- Swift, JR.C.M., 1973,** The L/M parameter of time-domain IP measurements a computational analysis, Geophysics, vol. 38,1,p.61-67.6 figs.
- Tezel,O.,1992,** Zaman ortamı IP yanıtlarının araştırılması, İ.U.Fen Bilimleri Enstitüsü, Yüksek Lisans Tezi.
- Trofimenkov F.N., Johnston R.H., Haslett J.W., 1982,** Electromagnetic coupling between Parallel lines on a uniform earth., IEEE Trans. Geosci. Remote Sensing., GE-20, 2, 197-200.
- Yost W.J., 1952,** "The interpretaion of electromagnetic reflection data in geophysical exploration, part I. General theory" Geophysics XVII, no:1, pp., 89-106.

Ek 1.

```

10 GOSUB 1110
20 PRINT CHR$(7)
30 OPEN "O",#1,"DIPOL.DAT"
40 DIM RA(500),RB(500),Z(500)
50 PI=3.1415926#
60 MU=4*PI*.0000001
70 MUKOK=SQR(MU)
80 GOSUB 730:GOSUB 1040
90 C$=INKEY$
100 IF C$=" " THEN 100
110 IF C$="e" OR C$="E" THEN 150
120 IF C$="h" OR C$="H" THEN 140
130 GOTO 90
140 GOSUB 860
150 A=400:R=100:T=4:TR=2:BAS=.1:ADIM=.1
160 'A=400:R=100:T=8:TR=2:BAS=.1:ADIM=.1
165 'A=400:R=10:T=4:TR=2:BAS=.1:ADIM=.1
170 FOR N=1 TO 5 STEP 2
180 PRINT TAB(5);"=";N;" iCiN"
190 K=0
200 FOR I=BAS TO TR STEP ADIM
210 K=K+1
220 TOPB=0
230 TOPA=0
240 FOR M=0 TO 2
250 S1=I+(T/2)+M
260 S2=SQR(S1)

```

```

270 S3=S2*S1
280 B1=I+(T/4)+M
290 B2=SQR(B1)
300 B3=B2*B1
310 B4=I+(3*T/4)+M*T
320 B5=SQR(B4)
330 B6=B4*B5
340 S4=I+M*T
350 S5=SQR(S4)
360 S6=S5*S4
370 TOP=1/S3-1/S6
380 TOPA=TOPA+TOP
390 TOP=TOP+1/B3-1/B6
400 TOPB=TOPB+TOP
410 NEXT M
420 DI=A^3*MUKOK*MU
430 DIP=SQR(PI)*R^(1.5)
440 GE=N*(N+1)*(N+2)
450 DIPE=(DI/(12*DIP))*GE
460 DIPOL=DIPE*TOPA
470 RA(K)=DIPOL
480 DIPOL=DIPE*TOPB
490 RB(K)=DIPOL
500 Z(K)=I
510 NEXT I
580 PRINT" zaman      rdva      rdvb "
590 PRINT "#1," zaman      rdva      rdvb "
600 PRINT" -----      -----      "
610 PRINT "#1," -----      ----- N=";N;"ICIN"
620 FOR J=1 TO K
630 PRINT TAB(5);Z(J);TAB(20);RA(J);TAB(40);RB(J)
640 PRINT #1,TAB(5);Z(J);TAB(20);RA(J);TAB(40);RB(J)
650 NEXT J
660 NEXT N
670 CLS:PRINT CHR$(7):LOCATE 20,40:PRINT"sisteme cikis <S> & programdan cikis <P>& menu icin
<M> tusuna basiniz
680 X$=INKEY$
690 IF X$=" " THEN 690
700 IF X$="s" OR X$="S" THEN 704
701 IF X$="p" OR X$="P" THEN 720
702 IF X$="m" OR X$="M" THEN 706
703 GOTO 680
704 SYSTEM
706 RUN"ana
720 END
730 LOCATE 10,15:PRINT"eloktrod acikligi....."
740 LOCATE 11,15:PRINT"homojen ortam ozdirenci...."
750 LOCATE 12,15:PRINT"akim dalgasinin peryotu...."
760 LOCATE 13,15:PRINT"cevap suresi(sec)....."
770 LOCATE 14,15:PRINT"baslama zamani....."
780 LOCATE 15,15:PRINT"adim araligi....."
790 LOCATE 10,43:INPUT A

```

```

800 LOCATE 11,43:INPUT R
810 LOCATE 12,43:INPUT T
820 LOCATE 13,43:INPUT TR
830 LOCATE 14,43:INPUT BAS
840 LOCATE 15,43:INPUT ADIM
850 RETURN
860 CLS:GOSUB 1110:LOCATE 10,15:PRINT"1.eloktrod acikligi.....";A
870 LOCATE 11,15:PRINT"2.homojen ortam ozdirenci...";R
880 LOCATE 12,15:PRINT"3.akim dalgasinin peryotu...";T
890 LOCATE 13,15:PRINT"4.cevap suresi(sec).....";TR
900 LOCATE 14,15:PRINT"5.baslama zamani.....";BAS
910 LOCATE 15,15:PRINT"6.adim araligi.....";ADIM
920 LOCATE 18,40:PRINT"hangisi yanlis <1 2 3 4 5 6 &hata yok=e>""
930 D$=INKEY$
940 IF D$=" " THEN 940
950 IF D$="1" THEN 1050:GOTO 920
960 IF D$="2" THEN 1060:GOTO 920
970 IF D$="3" THEN 1070:GOTO 920
980 IF D$="4" THEN 1080:GOTO 920
990 IF D$="5" THEN 1090:GOTO 920
1000 IF D$="6" THEN 1100:GOTO 920
1010 IF D$="e" OR D$="E" THEN :CLS:GOSUB 1110:GOTO 1030
1020 GOTO 930
1030 RETURN
1040 LOCATE 18,40:PRINT"yukaridaki degerler dogrumu <e/h>" :RETURN
1050 LOCATE 10,15:INPUT"eloktrod acikligi.....";A:GOTO 920
1060 LOCATE 11,15:INPUT"homojen ortam ozdirenci...";R:GOTO 920
1070 LOCATE 12,15:INPUT"akim dalgasinin peryotu...";T:GOTO 920
1080 LOCATE 13,15:INPUT"cevap suresi(sec).....";TR:GOTO 920
1090 LOCATE 14,15:INPUT"baslama zamani.....";BAS:GOTO 920
1100 LOCATE 15,15:INPUT"adim araligi.....";ADIM:GOTO 920
1110 CLS:LOCATE 2,60:PRINT"okan tezel"
1140 RETURN

```

Makalenin geliş tarihi : 11.10.1999
Makalenin yayına kabul tarihi : 28.02.2000
Received : October 11, 1999
Accepted : February 28, 2000